

# 積分方程式法による斜面の動的解析

京都大学工学部

正員

小林昭一

京都大学工学部

正員

西村直志

中央復権コンサルタント

正員

田底成智

## 1. はじめに

積分方程式法は古典ポテンシャル理論より導かれた方法であり、その特徴として有限要素法に比べて1次低い次元で解析できることと、外部境界値問題に適して3Dで計算が可能である。本研究に於いては、段差のある半無限地盤にP波、SV波が入射した場合の動的解析と、その解析法の妥当性の検討を試みる。

## 2. 定式化

Somiglianaの積分方程式によれば次式が成立する。

$$K(\xi)U_s(\xi) = \int_S \left\{ \Gamma^{(1)}(\xi, \eta)T_i(\eta) - U_i(\eta)\Gamma^{(0)}(\xi, \eta) \right\} dS(\eta), \quad K(\xi) = \begin{cases} 1 & \xi \in D \\ \frac{1}{2} & \xi \in S \\ 0 & \xi \notin D, \xi \notin S \end{cases} \quad (1)$$

$U_s(\xi)$ ,  $T_i(\xi)$  は変位ベクトル, 表面カベクトルであり,  $\Gamma^{(0)}(\xi, \eta)$  は2次元弾性定常状態の基本特異解である。境界条件は境界  $S$  における表面力が 0 であることを表す。すなはち

$$T_i(\xi) = 0, \quad \xi \in S \quad (2)$$

この条件(2)を用いて, radiation-condition を満足する散乱波  $U_s$  について積分方程式を立て、それを解けば境界における変位ベクトルを求めることができる。

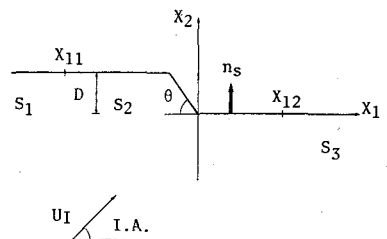
## 3. 段差のある半無限地盤への適用

具体的な手法としては、段差よりある程度離れた所では段差の影響は十分小さいものと仮定し、半無限弾性体の場合の解を適用し、段差もしくはその近傍では数値積分法を適用することにする。

### (a) 數學的モデル

fig. 1 に示す数学的モデルを考える。段差  $D$ , 傾斜角  $\theta$  とする。式(1)における  $\xi$  を境界  $S$  上に極限移行すれば散乱波について次式を得る。

$$\frac{1}{2}U_s = \int_S T_i dS - \int_S U_s dS, \quad S = S_1 + S_2 + S_3 \quad (3)$$



ここで  $n_s$  は散乱波による表面力である。条件(2)より式(3)

を入射波による表面力を用いて表すと次式のようになる。

$$\frac{1}{2}U_s + \int_{S_2} T_i U_s dS_2 = - \int_{S_1} (\Gamma t_i + \Gamma U_s) dS_1 - \int_{S_3} (\Gamma t_i + \Gamma U_s) dS_3 - \int_{S_2} \Gamma t_r dS_2 \quad (4)$$

Shoichi KOBAYASHI, Naoshi NISHIMURA, Naritomo TASOKO

### (ii) 仮定

物理的に考えると、この段差による影響は無限に遠い所ではないものと考えらるるから  $S_1$  面での散乱波は  $\varphi = \pi$  なる面での散乱波、 $S_3$  面での散乱波は  $\varphi = 0$  なる面での散乱波とみなすことができる。したがって、その他の散乱波を  $U_s^+$ ,  $U_s^-$  とおけば、式(4)は以下のようになる。

$$\frac{1}{2} U_s + \int_{S_2} (\Gamma t_I + \Gamma_I U_s^+) dS_2 = - \int_{S_1} (\Gamma t_I + \Gamma_I U_s^-) dS_1 - \int_{S_3} (\Gamma t_I + \Gamma_I U_s^-) dS_3 - \int_{S_2} \Gamma t_I dS_2 \quad (5)$$

### (iii) 段差の角での影響係数の算定

fig. 2 に示すような段差の角 A, B では角である二つによる影響係数を算定する必要がある。影響係数は次式のように定義される。

$$C_{ij} = \left\{ \int_{S_x} \left( \lambda \Gamma_{ij}^{(1)}(x_i, y_j) m_i + \mu (\delta_{ij} \Gamma_{ij}^{(2)} + \delta_{ji} \Gamma_{ij}^{(3)}) m_j \right) dS \right\} \quad (6)$$

$\lambda, \mu$  は Lame の定数、 $m_i$  は法線ベクトル、 $\Gamma_{ij}^{(k)}$  は Kronecker のデルタである。また  $S_x$  は図中の円弧である。 $R = |x - y|$  とき、式(6)の計算は次式に従う。

$$\Gamma_{ij}^{(k)}(x_i, y_j) = - \frac{1}{4\pi\mu(\lambda+2\mu)} \left\{ (\lambda+3\mu) \delta_{ij} \frac{y_k - x_k}{R} + (\lambda+\mu) \frac{(\delta_{ik}(x_j - y_j) + (x_i - y_i) \delta_{jk}) R^2 + 2(y_k - x_k)(x_i - y_i)(x_j - y_j)}{R^4} \right\} \quad (7)$$

いま  $R = 1$  にとれば  $m_i = x_i - y_i$  となり式(7)を用ひて式(6)を角のまわりで積分すれば「影響係数が求められる。」

### (iv) 結果

$S_1, S_3$  上の積分は Fourier 変換を介して contour integral に帰着して評価すれば式(5)の右辺は既知となり、 $S_2$  上の積分方程式となる。一例として入射 S 波、入射角  $60^\circ$ 、傾斜角  $60^\circ$ 、ポアソン比  $0.25$ 、波数 × 段差 = 0.69 の場合を fig. 3 に示す。有限区間  $S_2$  は両側に 1 波長分ずつとった。この図より両端の変位ベクトルの乱れではなく、変位の振幅は段差の上側よりも下側の方が大きく、また段差から遠ざかるほど振幅が小さくなること等がわかる。なお、詳細な計算方法及び結果の報告、また本解析法の妥当性の検証については当日発表する。

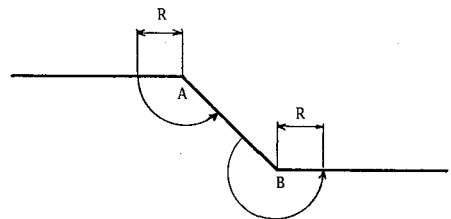


fig. 2

REAL PART  
S-WAVE  
W.N. = 0.2  
I.R. = 60.0



fig. 3-(a)

IMAGINARY PART  
S-WAVE  
W.N. = 0.2  
I.R. = 60.0



fig. 3-(b)